

## 不飽和粘土の圧縮・伸張せん断

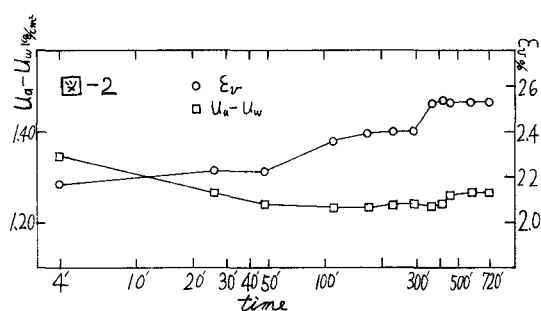
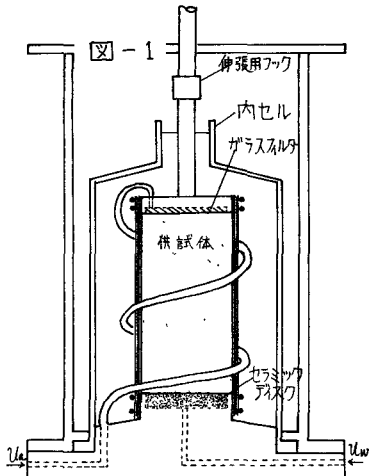
神戸大学工学部 正会員 軽部大蔵  
 不動建設 正会員○苗村康造  
 大阪瓦斯 大阪瓦斯  
 北村八朗

**1. 実験概要** 締固めた不飽和土に対して、等方圧縮を行なったのち圧縮せん断または伸張せん断を行ない、 $suction(U_{w0})$  がひずみと破壊条件にいかなる影響をもつか調べた。また圧縮せん断と伸張せん断試験結果を比較することにより、Bishop の有効応力式における  $\epsilon$  が不飽和土の試験結果だけから求められることを示した。

**2. 実験装置** 実験装置としては、三軸圧縮伸張試験機を使用した。供試体は信楽粘土 ( $G_s=2.55$ ,  $WL=5.8\%$ ,  $w_p=22.62\%$ ) を一定含水比 ( $w=19.2 \pm 0.35\%$ ) に調整し、カリコルニアミニチュアコンパクターをもちいて一定乾燥密度 ( $\gamma_m=1.462 \pm 0.018 \text{ kN/m}^3$ ) となるよう最適含水比 ( $w_{opt}=21.6\%$ ) より乾燥側に 5 層各層 15 回に締固めた。供試体は高さ 8 cm, 直径 3.5 cm の円柱形とし、ゴムスリーブ 2 枚を使用し、中間にひまし油を塗布して水もれを防ぎ、O-リング ( $\phi=29.7 \text{ mm}$ ) 2 本で上下それぞれシーリングした。側液には 50% のグリセリン水溶液を使用した。間げき空気压  $U_a$  は、上部ガラスフルターを通じて供試体に強制的に与えた(排気状態)。非排水試験では、間げき水压  $U_w$  は、下部のセラミックデスク(日本化学陶業製耐火物 F, air entry value 2.0 kPa/cm<sup>2</sup>)を通してストレインゲージ型間げき水压計で測定した。体積変化は、内セルの上部水面変動より読みとた。なお、伸張試験においては、上部載荷キャップに伸張用フックをくっつけた。(図-1 参照)。飽和供試体は、上と同様に締め固めた供試体を等方圧 1.5 kPa 下で、供試体下部から蒸留水を 0.5 kPa の圧力で送りこみ、上部から排水させる方法で作成した。

**3. 実験方法** 供試体は所定の初期条件でそれぞれ等方圧縮を行なったのち、平均主応力一定条件のもとで圧縮せん断

	初期水状態	等方圧縮	圧縮せん断
A	suction 测定	$\gamma_m=4 \text{ kPa}$ まで 等方圧縮	$\gamma_m=1 \text{ kPa}$ で 圧縮せん断
B	非排水状態	$\gamma_m=3 \text{ kPa}$ まで 等方圧縮	$\gamma_m=3 \text{ kPa}$ で 圧縮せん断
C	suction 初定	$\gamma_m=3 \text{ kPa}$ まで 等方圧縮	$\gamma_m=3 \text{ kPa}$ で 圧縮せん断
D	suction=12 %	$\gamma_m=3 \text{ kPa}$ まで 等方圧縮	$\gamma_m=3 \text{ kPa}$ で 圧縮せん断
E	suction=0.7 kPa	$\gamma_m=3 \text{ kPa}$ まで 等方圧縮	$\gamma_m=3 \text{ kPa}$ で 圧縮せん断
F	suction=0.2 kPa	$\gamma_m=3 \text{ kPa}$ まで 等方圧縮	$\gamma_m=3 \text{ kPa}$ で 圧縮せん断
G	飽和	$\gamma_m=3 \text{ kPa}$ まで 等方圧縮	$\gamma_m=3 \text{ kPa}$ で 圧縮せん断
H	非排水状態	$\gamma_m=3 \text{ kPa}$ まで 等方圧縮	$\gamma_m=3 \text{ kPa}$ で 伸張せん断
I	suction=12 %	$\gamma_m=3 \text{ kPa}$ まで 等方圧縮	$\gamma_m=3 \text{ kPa}$ で 伸張せん断
J	suction=0.7 kPa	$\gamma_m=3 \text{ kPa}$ まで 等方圧縮	$\gamma_m=3 \text{ kPa}$ で 伸張せん断
K	飽和	$\gamma_m=3 \text{ kPa}$ まで 等方圧縮	$\gamma_m=3 \text{ kPa}$ で 伸張せん断



または伸張せん断を行なつた(表-1参照)。等方圧縮中の1荷重段階あたりの時間は、最初の段階のみは12時間(図-2参照)、以後の段階は7時間とした。圧縮せん断は荷重段階6時間の荷重制御で破壊附近までひずみをかけき、その後はひずみ制御(0.6%/hour)とした。伸張せん断は全て荷重段階の時間の荷重制御とした。ひずみは全て17kg/cm<sup>2</sup>とした。

4. 実験結果 図-3は、体積ひずみ  $\epsilon_v \sim \log(\sigma_m - u_a)$  図である。図中での飽和土のひずみは *soaking* 後からのひずみである。 $(u_a - u_w)$  が大きいほど圧縮率は小さくなつていうが、その変化は、 $(u_a - u_w)$  に対して非線形的である。図-4は、非排水試験中の軸方向ひずみ  $\epsilon_a$  と  $(u_a - u_w)$  の関係を示している。等方圧縮段階では  $(u_a - u_w)$  は減少し、せん断段階では増加する。図-5は、せん断中の  $(\epsilon_1 - \epsilon_3) \sim \epsilon_v$  図である。図-6は、せん断中の  $(\epsilon_1 - \epsilon_3) \sim (\epsilon_1 - \epsilon_3)$  図である。図-5, 6共に圧縮の方が同じひずみに対しては主応力差が大きい。また圧縮伸張とも suction の順にならんでいる。Bishop の有効応力式を Mohr-Coulomb の破壊応力条件式に適用すると、

$$(\sigma_1 - \sigma_3) = \sin \phi' (\sigma_1 + \sigma_3 - 2u_a) + c \quad \text{---(1)}$$

従来、式(1)を利用して  $c$  を求めたためには、 $\phi'$  が飽和度にかかわらず一定と仮定する必要があつた。しかし筆者らは、同じ履歴の供試体(したがつて  $c$  も同じと思われる)について

圧縮せん断と伸張せん断を行なつたので、 $\sin \phi'$  と  $c$  を不飽和土の実験だけから求めることができる。計算結果は、図-7に示すように、 $\sin \phi'$  は飽和状態を除いては  $(u_a - u_w)$  によらずほぼ一定値が得られた。 $(u_a - u_w)$  との関係は、 $(u_a - u_w)$  が小さい所で  $c$  が急激に増加するようである。

くわしい解析は、土木学会全国大会で報告するつもりである。

